

Обзор актуальных аппаратных уязвимостей

М. Ю. Кричанов <krichanov@ispras.ru>

19 июня 2025 г.

ИСП РАН

База данных аппаратных уязвимостей



New to CW
Start here

Home > CWE List > CWE: Hardware Design View (1.1)

Home | About | Learn | Access Content | Community | Search

CWE VIEW: Hardware Design

View ID: 1194

Vulnerability Mapping: PROHIBITED

Type: Graph

Download: Booklet | CSV | XML

Objective

This view organizes weaknesses around concepts that are frequently used or encountered in hardware design. Accordingly, this view can align closely with the perspectives of designers, manufacturers, educators, and assessment vendors. It provides a variety of categories that are intended to simplify navigation, browsing, and mapping.

Audience

Stakeholder	Description
Hardware Designers	Hardware Designers use this view to better understand potential mistakes that can be made in specific areas of their IP design. The use of concepts with which hardware designers are familiar makes it easier to navigate.
Educators	Educators use this view to teach future professionals about the types of mistakes that are commonly made in hardware design.

Relationships

The following graph shows the tree-like relationships between weaknesses that exist at different levels of abstraction. At the highest level, categories and pillars exist to group weaknesses. Categories (which are not technically weaknesses) are special CWE entries used to group weaknesses that share a common characteristic. Pillars are weaknesses that are described in the most abstract fashion. Below these top-level entries are weaknesses at varying levels of abstraction. Classes are still very abstract, typically independent of any specific language or technology. Base level weaknesses are used to present a more specific type of weakness. A variant is a weakness that is described at a very low level of detail, typically limited to a specific language or technology. A chain is a set of weaknesses that must be reachable consecutively in order to produce an exploitable vulnerability. While a composite is a set of weaknesses that must all be present simultaneously in order to produce an exploitable vulnerability.

Show Details

Expand All | Collapse All | Filter View

1194 - Hardware Design

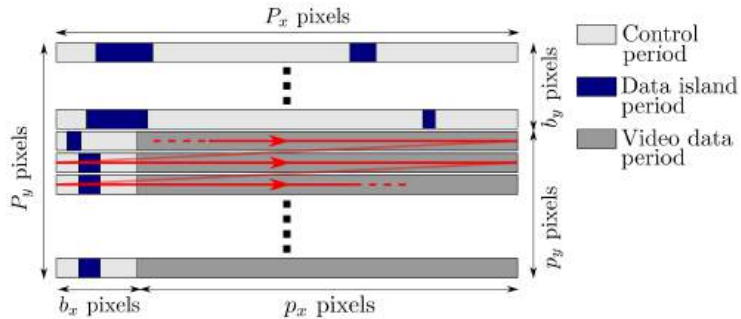
- [-] Manufacturing and Life Cycle Management Concerns - (1195)
- [-] Security Flow Issues - (1196)
- [-] Integration Issues - (1197)
- [-] Privilege Separation and Access Control Issues - (1198)
- [-] General Circuit and Logic Design Concerns - (1199)
- [-] Core and Compute Issues - (1201)
- [-] Memory and Storage Issues - (1202)
- [-] Peripherals, On-chip Fabric, and Interface/I/O Problems - (1203)
- [-] Security Primitives and Cryptography Issues - (1205)
- [-] Power, Clock, Thermal, and Reset Concerns - (1206)
- [-] Debug and Test Problems - (1208)

Электромагнитное излучение: VGA и DVI



Wim van Eck: *Electromagnetic Radiation from Video Display Units: An Eavesdropping Risk?* Computers & Security, Vol. 4, pp. 269–286, 1985.

Электромагнитное излучение: HDMI



Santiago Fernández, et. al.: *Deep-TEMPEST: Using Deep Learning to Eavesdrop on HDMI from its Unintended Electromagnetic Emanations.*

7.- PRIVACIDAD Y TRATAMIENTO

LOI respeta la privacidad de todos los individuos sobre la información que lo identifica a usted

7.- PRIVACIDAD Y TRATAMIENTO

LOI respeta la privacidad de todos los individuos sobre la información que lo identifica a usted

7.- PRIVACIDAD Y TRATAMIENTO

LOI respeta la privacidad de todos los individuos sobre la información que lo identifica a usted

τ is the Gumbel-softmax sampling temperature. It's the discreteness of \hat{x} . With this relaxation, PGD attack on the distribution π at each

τ is the Gumbel-softmax sampling temperature. It's the discreteness of \hat{x} . With this relaxation, PGD attack on the distribution π at each

τ is the Gumbel-softmax sampling temperature. It's the discreteness of \hat{x} . With this relaxation, PGD attack on the distribution π at each

Santiago Fernández, et. al.: *Deep-TEMPEST: Using Deep Learning to Eavesdrop on HDMI from its Unintended Electromagnetic Emanations.*

Электромагнитное излучение: DisplayPort



DisplayPort TEMPEST test image

Text from "Electromagnetic Radiation from Video Display Units: An Eavesdropping Risk" (van Eck, 1986)

Until recently it was considered very difficult to reconstruct the data hidden in the radiated field, and it was therefore believed that eavesdropping on digital equipment could only be performed by professionals with access to very sophisticated detection and decoding equipment. As a result, digital equipment for processing information requiring protection or low-level protection, such as private and business information, is not protected against eavesdropping of this kind.

The application of square wave signals and high switching frequencies in digital equipment leads to the radiation of electromagnetic fields containing frequency components up into the UHF region.



In some cases, resonances in circuits may lead to higher radiation levels at some frequencies in the radiated spectrum. Even circuits not designed to carry a certain signal may radiate part of this signal due to cross-talk and because the circuits are resonant for some of the signal's frequency components. A striking example of such a radiating circuit is the main power cable of a piece of equipment.

It is evident that this possibility has implications with regard to the protection of information. This is especially relevant to cases where protective measures have already been taken, such as encryption and/or physical protection. In any chain of measures taken to protect information, the weakest link may well be the video display unit radiating information around. And as everybody knows, a chain is never stronger than its weakest link.

DisplayPort TEMPEST test image

Text from "Electromagnetic Radiation from Video Display Units: An Eavesdropping Risk" (van Eck, 1986)

Until recently it was considered very difficult to reconstruct the data hidden in the radiated field, and it was therefore believed that eavesdropping on digital equipment could only be performed by professionals with access to very sophisticated detection and decoding equipment. As a result, digital equipment for processing information requiring protection or low-level protection, such as private and business information, is not protected against eavesdropping of this kind.

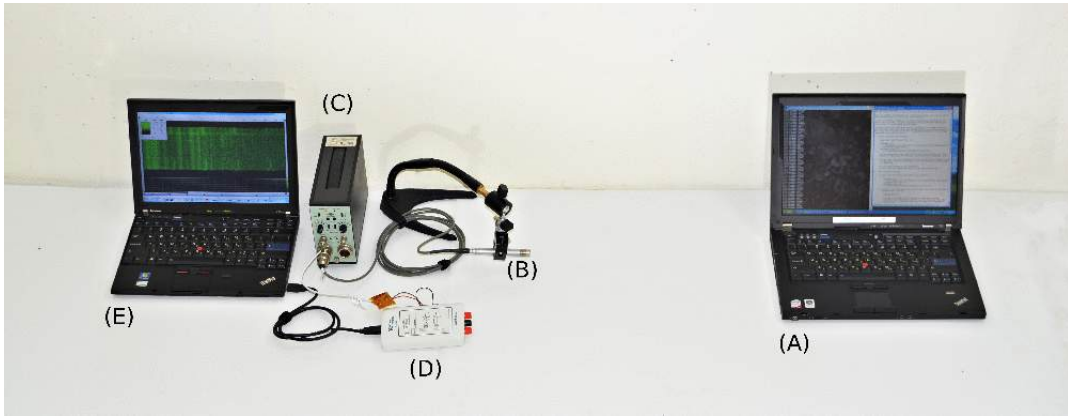
The application of square wave signals and high switching frequencies in digital equipment leads to the radiation of electromagnetic fields containing frequency components up into the UHF region.



In some cases, resonances in circuits may lead to higher radiation levels at some frequencies in the radiated spectrum. Even circuits not designed to carry a certain signal may radiate part of this signal due to cross-talk and because the circuits are resonant for some of the signal's frequency components. A striking example of such a radiating circuit is the main power cable of a piece of equipment.

It is evident that this possibility has implications with regard to the protection of information. This is especially relevant to cases where protective measures have already been taken, such as encryption and/or physical protection. In any chain of measures taken to protect information, the weakest link may well be the video display unit radiating information around. And as everybody knows, a chain is never stronger than its weakest link.

Акустические колебания



А – атакуемая машина. В – микрофон. С – источник питания и усилитель. D – АЦП.
Е – компьютер злоумышленника.

Акустические колебания: RSA, криптоанализ

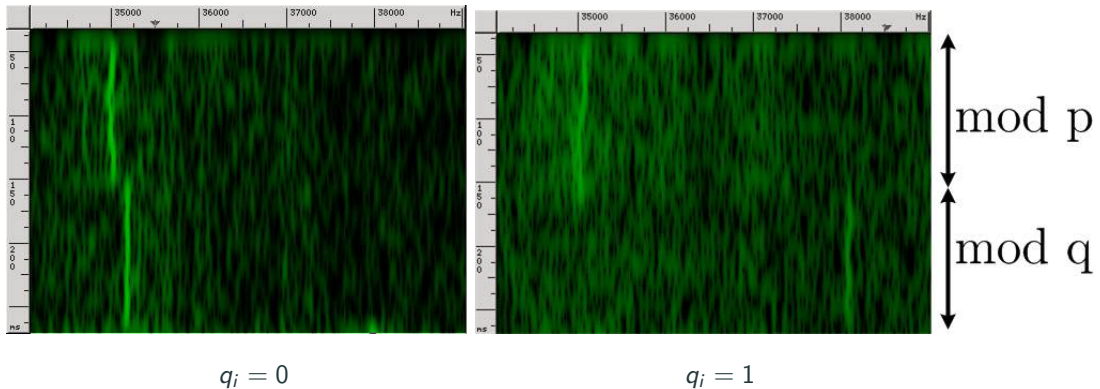
$$M = C^d \bmod N, N = p \times q$$

- Атака на основе специальным образом подобранных шифротекстов.
- Извлекает по одному биту секретного ключа за сообщение.
- Оптимизация №1 – китайская теорема об остатках: $\bmod N \rightarrow \bmod p, \bmod q$.
- Оптимизация №2 – разные алгоритмы умножения в зависимости от размера множителя (в байтах).
- Разные шифротексты \rightarrow разные потоки управления \rightarrow разное энергопотребление ЦП.

Daniel Genkin, et. al.: ***RSA key extraction via low-bandwidth acoustic cryptanalysis.*** IACR Cryptology ePrint Archive, 2013:857, 2013.

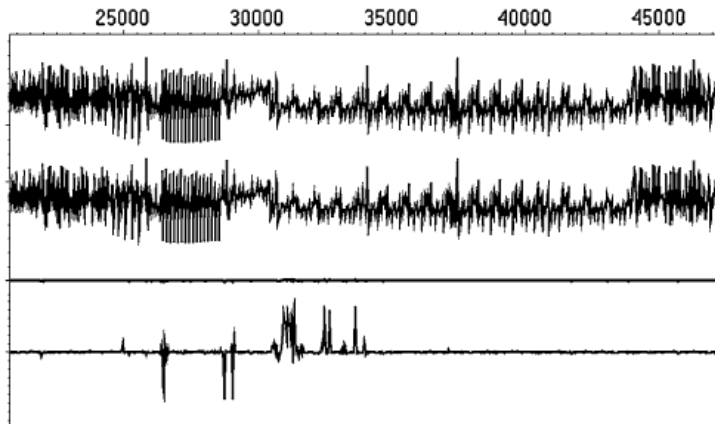
Акустические колебания: RSA, спектральный анализ

$$M = C^d \bmod N, N = p \times q$$



Daniel Genkin, et. al.: **RSA key extraction via low-bandwidth acoustic cryptanalysis**. IACR Cryptology ePrint Archive, 2013:857, 2013.

Анализ энергопотребления: измерение напряжения

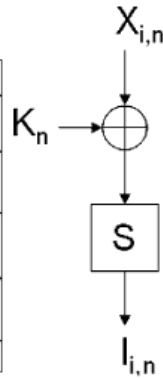
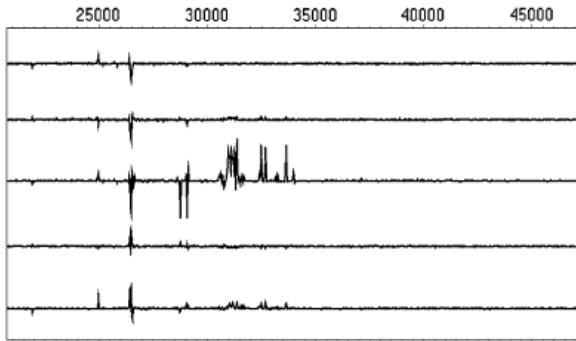


Дифференциальный анализ:

1. Сбор трасс.
2. Разбиение на 2 множества.
3. Усреднение множеств.
4. Вычитание усреднённых трасс.

Paul Kocher, et. al.: *Introduction to differential power analysis*. Journal of Cryptographic Engineering,
Volume 1, pages 5–27 (2011).

Анализ энергопотребления: AES-128



- X – открытый текст
- K – секретный ключ
- i – номер трассы
- n – номер байта
- S – таблица замен
- I – результат подстановки
- $I_{i,0}(X_{i,0})[0]$ – функция разбиения
- 256 возможных значений K_0

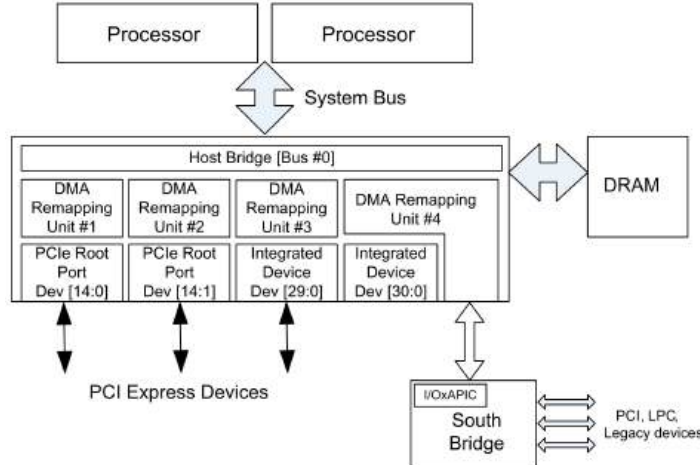
Paul Kocher, et. al.: *Introduction to differential power analysis*. Journal of Cryptographic Engineering, Volume 1, pages 5–27 (2011).

Периферийные устройства



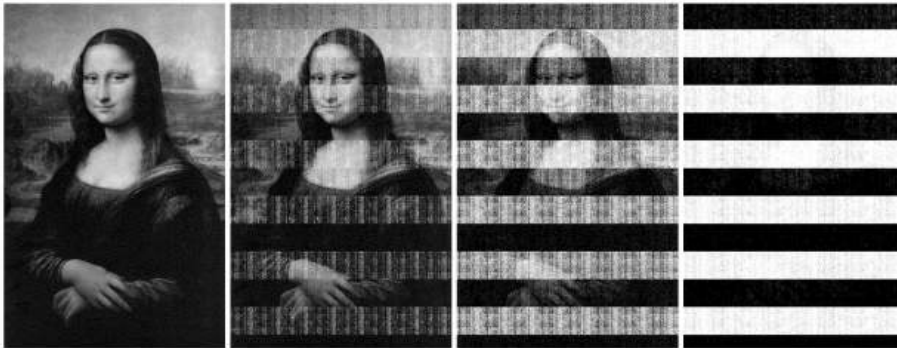
1. Нет криптографии, есть обновление.
 2. Сетевую карту можно взломать удалённо.
 3. PCI Express позволяет устройствам взаимодействовать в обход ЦП.
 4. BIOS должен правильно настроить Access Control Services (PCIe ACS).
-
1. K. Chen: *Reversing and exploiting an Apple firmware update.*
 2. Loïc Duflot, et. al.: *Can you still trust your network card?*
 3. Arrigo Triulzi: *Project Maux Mk.II.*

Периферийные устройства: DMA



Rafal Wojtczuk, et. al.: *Another Way to Circumvent Intel Trusted Execution Technology. Tricking SENTER into misconfiguring VT-d via SINIT bug exploitation.*

Оперативная память: постепенное стекание заряда



Отсутствие заряда может интерпретироваться платой памяти как 0 или 1 для разных блоков адресов.

J. Alex Halderman, et. al.: *Lest We Remember: Cold Boot Attacks on Encryption Keys*. Proceedings of the 17th USENIX Security Symposium, July 28-August 1, 2008, San Jose, CA, USA.

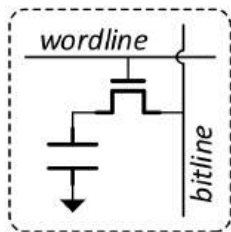
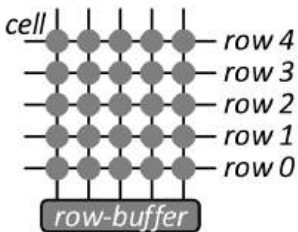
Оперативная память: AES-128



- В оперативной памяти хранятся закрытый ключ и производные от него ключи.
- Выкрасть включённый ноутбук → охладить плату → вставить в свою машину → сканировать.

J. Alex Halderman, et. al.: *Lest We Remember: Cold Boot Attacks on Encryption Keys*. Proceedings of the 17th USENIX Security Symposium, July 28-August 1, 2008, San Jose, CA, USA.

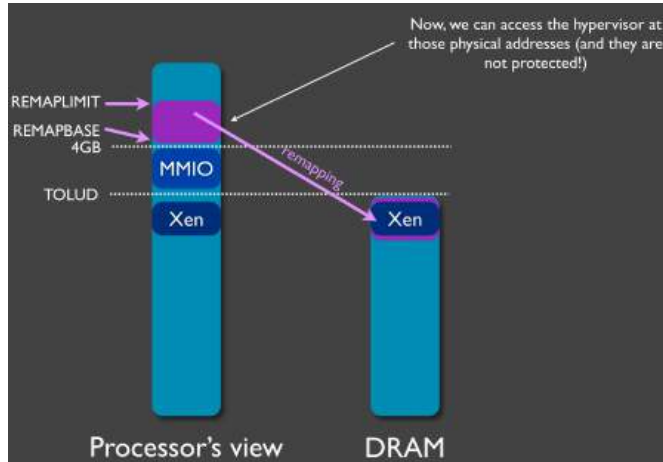
Оперативная память: ускорение разрядки битов



- Рост объёма памяти → рост плотности ячеек на кристалле → усиление взаимных влияний.
- Частые активации одного ряда → ускорение разрядки ячеек соседних неактивных рядов.
- Близкие ряды, но далёкие физические адреса.
- DDR5 Per-Row Activation Counting (PRAC) устраняет проблему.

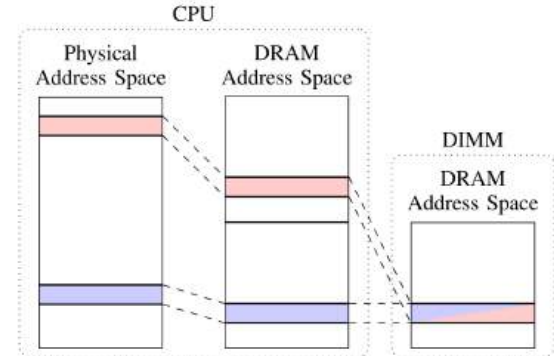
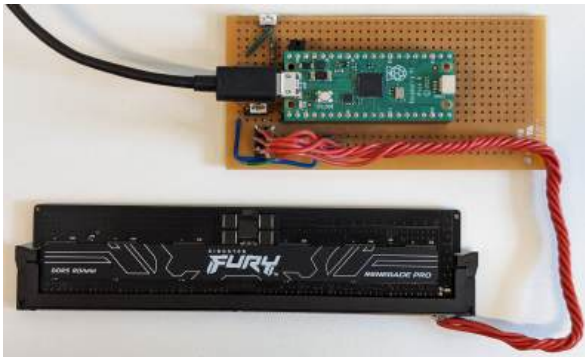
Yoongu Kim, et. al.: *Flipping bits in memory without accessing them: An experimental study of DRAM disturbance errors*. 2014 ACM/IEEE 41st International Symposium on Computer Architecture (ISCA), Minneapolis, MN, USA, 2014, pp. 361-372.

Оперативная память: изменение отображения, контроллер памяти



Joanna Rutkowska, et. al.: *Preventing and Detecting Xen Hypervisor Subversions.*

Оперативная память: изменение отображения, модуль памяти



Jesse De Meulemeester, et. al.: *BadRAM: Practical Memory Aliasing Attacks on Trusted Execution Environments*. In 2025 IEEE Symposium on Security and Privacy (SP), San Francisco, CA, USA, 2025, pp.

4117-4135.

Аппаратное шифрование: SATA

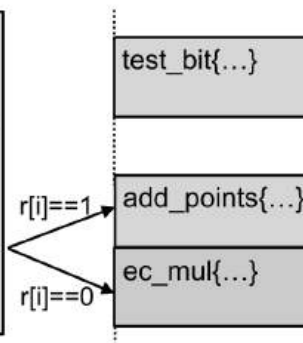


Tilo Müller, et. al.: ***Self-encrypting disks pose self-decrypting risks. How to break Hardware-based Full Disk Encryption.*** In 29th Chaos Communication Congress, Hamburg, Germany, December 2012.

Аппаратное шифрование: SGX, Page Fault

ec_mul(r, G):

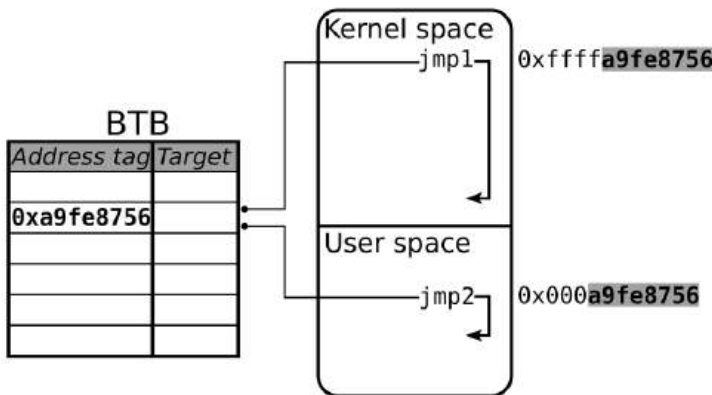
```
res = 0
nbits = |r|
for (i = nbits-1; i>=0; i--):
    res = dup_point(res)
    if (test_bit(r[i])):
        res = add_points(res, G)
return res
```



- Оперативная память зашифрована.
- ОС скомпрометирована.
 - У процесса только 3 страницы (rip, src, dst).
- Очерёдностью вызываемых страниц выдаёт секретный ключ.

Shweta Shinde, et. al.: *Preventing Page Faults from Telling Your Secrets*. In Proceedings of the 11th ACM on Asia Conference on Computer and Communications Security, Xi'an, China, 2016, pp. 317-328.

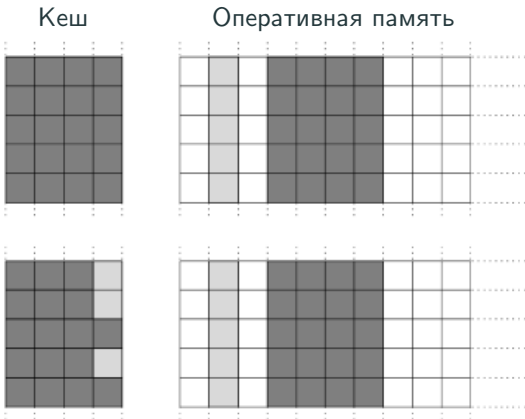
Аппаратное шифрование: SGX, Branch Target Buffer



- BTB кеширует информацию о недавних jmp.
- BTB хранит младшие биты адреса инструкции → коллизии → медленнее jmp.
- ОС скомпрометирована.
- ОС вызывает коллизии там, где jmp зависит от секретного ключа.
- Время исполнения jmp выдаёт значение секретного бита.

Sangho Lee, et. al.: *Inferring Fine-grained Control Flow Inside SGX Enclaves with Branch Shadowing*. In 26th USENIX Security Symposium (USENIX Security 17), Vancouver, BC, Canada, August 2017, pp. 557-574.

Разделяемые ресурсы как сторонние каналы: кеш, AES-128

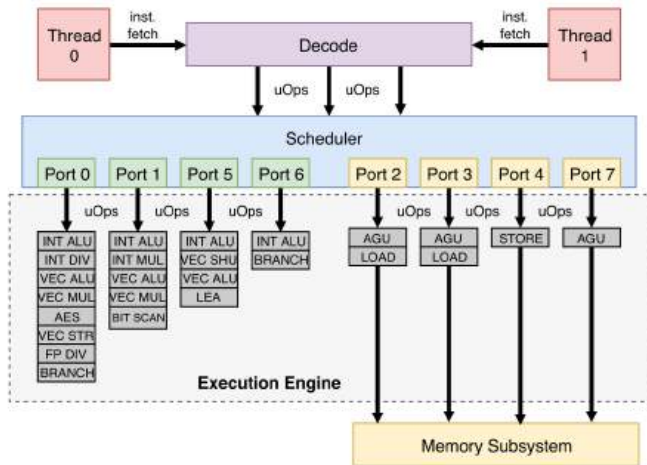


- Один квадрат – одна строка кеша.
- Одна строка кеша – 16 элементов таблицы замен S .
- $S[X_n \oplus K_n]$, $n \in \{0, \dots, 15\}$, X – открытый текст, K – секретный ключ.
- Одна строка кеша – 4 старших бита индекса $X_n \oplus K_n \rightarrow$ старшая половина байта K_n .
- Младшая половина байта K_n во 2-м раунде.

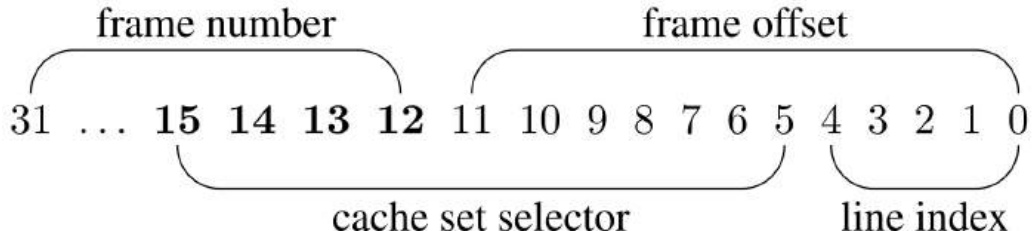
AES Злоумышленник

Dag Arne Osvik, et. al.: ***Cache Attacks and Countermeasures: the Case of AES***. In Topics in Cryptology–CT-RSA 2006: The Cryptographers’ Track at the RSA Conference 2006, San Jose, CA, USA, February 2005. Proceedings, pp. 1-20. Springer Berlin Heidelberg.

Разделяемые ресурсы как сторонние каналы: АЛУ



- У нитей исполнения одного ядра общее АЛУ.
- Время исполнения специального набора инструкций позволяет оценить текущий уровень загрузки каждой из подсистем (Port 0 – 7)
→ какие инструкции в данный момент времени исполняются в соседней нити.
- Характерные микрооперации выдают секретные биты.



- Устранение общих ресурсов.
- Отдельные вычислительные ядра.
- Виртуальный адрес строки кеша определяет её принадлежность к множеству.
- Разные нити → разные страницы → разные множества кеша.
- Раскрашивание кеша: цвета $\in \{15, \dots, 12\}$, всего $2^4 = 16$.

Qian Ge, et. al.: *A Survey of Microarchitectural Timing Attacks and Countermeasures on Contemporary Hardware*. Journal of Cryptographic Engineering (2018), Volume 8, pp. 1-27.

Спекулятивное исполнение: кеш – сторонний канал

```
1 ;rcx = kernel address  
2 ;rbx = probe array  
3 ;Read forbidden memory  
4 ;-> Page Fault  
5 mov al, byte [rcx]  
6 ;Speculative execution  
7 ;Convert byte value into  
8 ;page address  
9 shl rax, 0xc  
10 ;Save secret value in cache  
11 mov rbx, qword [rbx + rax]
```

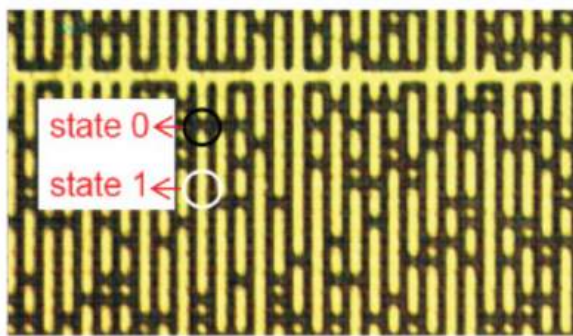
- 1 Аллоцировать область памяти размером в 256 страниц.
- 2 Сбросить из кеша начальные строки каждой страницы.
- 3 Прочитать один байт данных из недоступной области памяти. (стр. 5)
- 4 Спекулятивно преобразовать значение этого байта в адрес начала страницы. (стр. 9-11)
- 5 Спекулятивно прочитать несколько байт из начала этой страницы. (стр. 11)
- 6 Измерить время обращения к началу каждой из 256 страниц.

Номер страницы с t_{min} = значению байта недоступной памяти.

Moritz Lipp, et. al.: **Meltdown: Reading Kernel Memory from User Space**. In 27th USENIX Security Symposium (USENIX Security 18), Baltimore, MD, USA, August 2018, pp. 973-990.

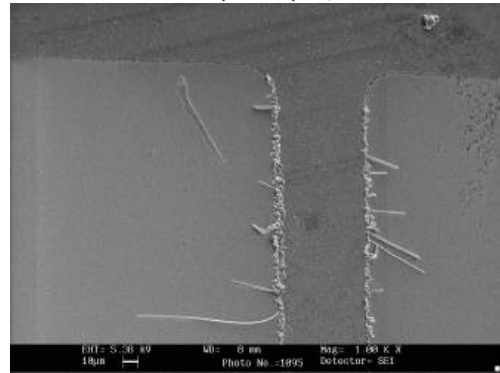
Побочные эффекты на микроуровне: ROM

Обратная инженерия



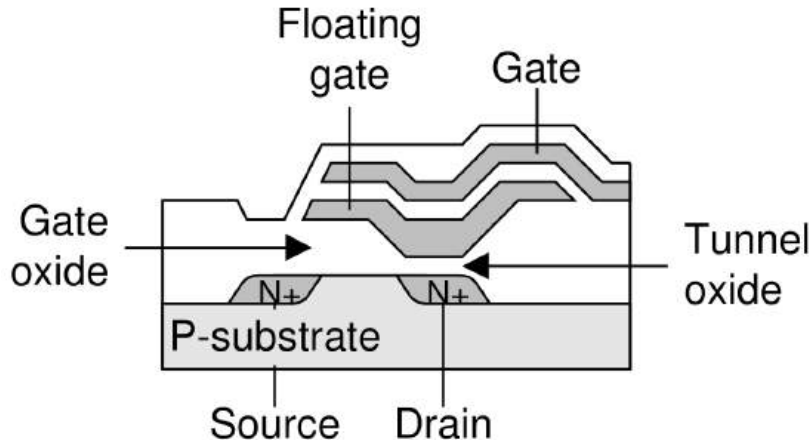
Shahed E. Quadir, et. al.: *A survey on chip to system reverse engineering*. ACM Journal on Emerging Technologies in Computing Systems, Vol. 13, No. 1, Article 6, April 2016.

Электромиграция



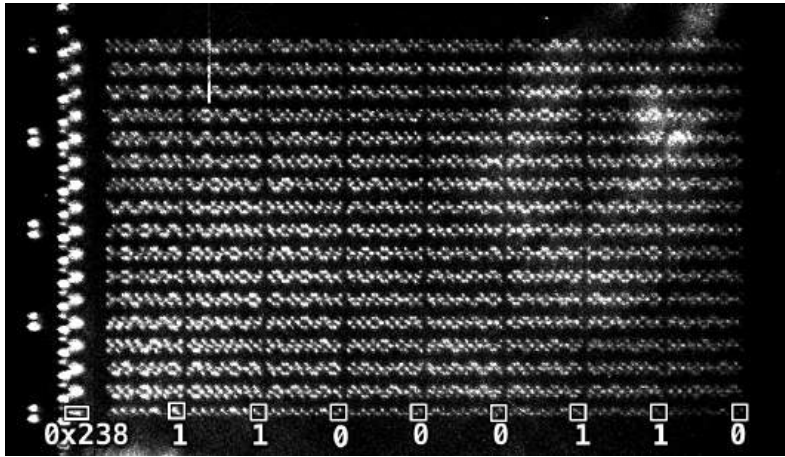
Peter Gutmann: *Data Remanence in Semiconductor Devices*. In Proceedings of the 10th USENIX Security Symposium, Washington, D.C., USA, August 2001, pp. 39–54.

Побочные эффекты на микроуровне: Flash



Peter Gutmann: *Data Remanence in Semiconductor Devices*. In Proceedings of the 10th USENIX Security Symposium, Washington, D.C., USA, August 2001, pp. 39–54.

Побочные эффекты на микроуровне: ближний инфракрасный диапазон



- Содержимое оперативной памяти можно увидеть в ближнем инфракрасном диапазоне.
- AES-128 → найти таблицу замен → наблюдать за обращениями → извлечь секретный ключ.

Alexander Schlösser, et. al.: *Simple Photonic Emission Analysis of AES. Photonic side channel analysis for the rest of us.* In Cryptographic Hardware and Embedded Systems—CHES 2012: 14th International Workshop, Leuven, Belgium, September 2012. Proceedings 14, pp. 41-57. Springer Berlin Heidelberg.

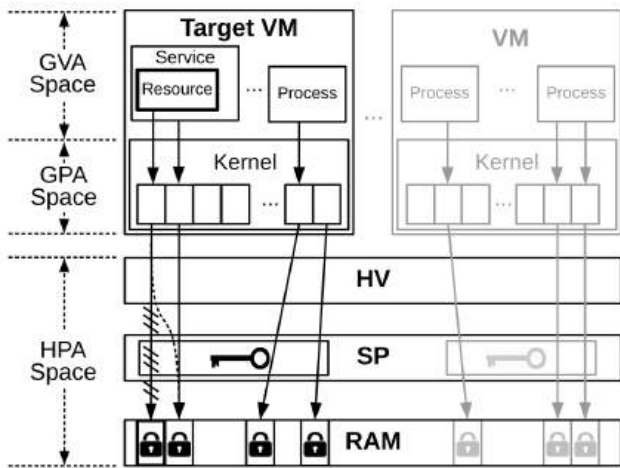
Внедрение ошибок



Figure 1.2 48-Pin TSOP1 Contact x8, x16 Devices

1. Замыкание адресного и контрольного контактов Flash памяти → переход в командную строку.
 2. Заземлить LRESET# контакт TPM → повторно инициализировать TPM → обмануть удалённую аттестацию.
 1. Brad Dixon: *How to Root an Embedded Linux Box with a Sewing Needle*.
 2. Bernhard Kauer: *OSLO: Improving the security of Trusted Computing*. In Proceedings of 16th USENIX Security Symposium (SS'07), Boston, MA, USA, August 2007, pp. 229-237.

Trusted Execution Environment: конструктивная безопасность?

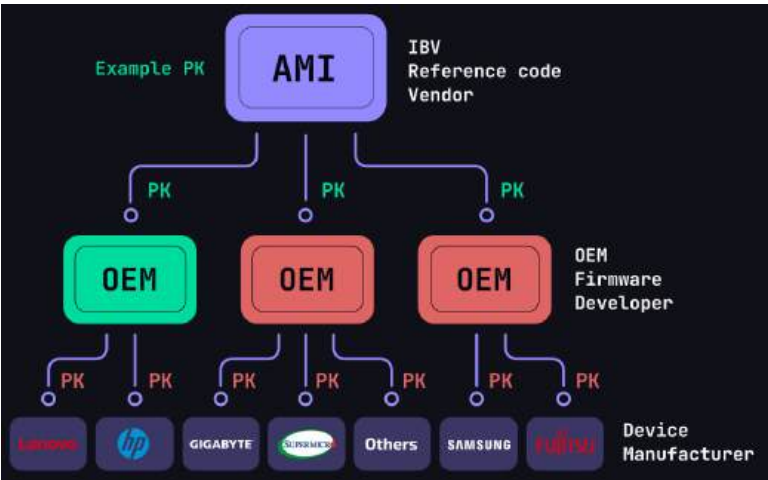


- Формальный подход к безопасности.
- Недоверенная аппаратура, но доверенная среда исполнения?
- Модуль для безопасности, для остального недоверенное окружение?
- Компьютерная безопасность – это конечный результат суммы дизайнерских решений на протяжении всего жизненного цикла программно-аппаратного комплекса.

Mathias Morbitzer, et. al.: **SEVered: Subverting AMD's Virtual Machine Encryption**. In EuroSec'18: 11th

European Workshop on Systems Security, Porto, Portugal, April 2018, pp. 1-6.

Basic Input/Output System: конструктивная безопасность?



- BIOS инициализирует независимые компоненты.
- UEFI регламентирует архитектуру BIOS.
- UEFI Secure Boot фрагментирует BIOS.
- Монолитный BIOS упростит архитектуру.
- Неконтролируемые части BIOS должны исполняться с наименьшими привилегиями.

Binarily REsearch Team: **PKfail: Untrusted Platform Keys Undermine Secure Boot on UEFI Ecosystem.**

Выводы: не повторять ошибки

Вектор атаки	Противодействие
Электромагнитное излучение	Шифрование
Акустические колебания	Контроль периметра
Анализ энергопотребления	Контроль периметра
Периферийные устройства	Правильная настройка BIOS
Оперативная память	DDR5
Разделяемые ресурсы	Исключение общих ресурсов
Спекулятивное исполнение	Изменение настроек ЦП
Микроуровень	Контроль периметра
Внедрение ошибок	Контроль периметра

Спасибо за внимание!